

## تجزیه تحلیل ترمودینامیکی واکنش OCM در حضور CO<sub>2</sub>

مریم خوش طینت نیکو<sup>۱</sup> - نوید نادرپور

بندر ماهشهر- پتروشیمی بندرآمام- کد پستی ۱۳۶- مرکز پژوهش بندرآمام- گروه کاتالیست و فرایند

[m\\_k\\_nikoo@yahoo.com](mailto:m_k_nikoo@yahoo.com)

### چکیده

واکنش تبدیل متان در حضور CO<sub>2</sub> گاز سنتزی با نسبت مولی H<sub>2</sub>/CO کمتر و هیدروکربن های سبک کمتر تولید می کند که این گاز سنتز به وسیله واکنش Fischer-Tropsch می تواند به ساخت های مایع و مواد شیمیایی با ارزش افزوده بالاتر تبدیل شود. تبدیل CH<sub>4</sub> و CO<sub>2</sub> (که هر دو از گازهای گلخانه ای هستند) به صورت همزمان در کاهش این اثر و حفظ محیط زیست سودمند است. استفاده از CO<sub>2</sub> به عنوان اکسید کننده متان به جای O<sub>2</sub> از واکنش های اکسیداسیون غیر گزینش پذیر نسبت به محصولات مطلوب جلوگیری کرده و گزینش پذیری نسبت به هیدروکربن های سنگین تر را افزایش می دهد. با استفاده از علم ترمودینامیک می توان محدودیت ها را در یک سیستم واکنش تعیین و به لحاظ توری شرایط عملکرد مناسب سیستم واکنش را محاسبه کرد. در این مقاله با محاسبه و بررسی تعادل شیمیایی ترمودینامیکی همه واکنش های دخیل در ترکیب CH<sub>4</sub>+CO<sub>2</sub> ↔ 2CO + 2H<sub>2</sub>) CO<sub>2</sub> ↔ CO + H<sub>2</sub>O, 1,1(CH<sub>4</sub>+CO<sub>2</sub>) ↔ 2CO + 2H<sub>2</sub> ↔ C<sub>2</sub>H<sub>6</sub> + CO + H<sub>2</sub>O, 2(CO<sub>2</sub>+H<sub>2</sub>) ↔ CO + H<sub>2</sub>O 2CH<sub>4</sub>+2CO<sub>2</sub> ↔ C<sub>2</sub>H<sub>4</sub> + .3(2CH<sub>4</sub>+ CO<sub>2</sub>) ↔ C<sub>2</sub>H<sub>6</sub> + CO + H<sub>2</sub>O, 2(CO<sub>2</sub>+H<sub>2</sub>) ↔ CO + H<sub>2</sub>O 2CO + 2H<sub>2</sub>O ↔ C<sub>2</sub>H<sub>4</sub> + 2H<sub>2</sub>, 4(C<sub>2</sub>H<sub>6</sub>) ↔ C<sub>2</sub>H<sub>4</sub> + 2H<sub>2</sub> 5(C<sub>2</sub>H<sub>6</sub>) ↔ 2CO + 2H<sub>2</sub>O از طریق محاسبه انرژی آزاد گیبس و ثابت تعادل واکنش های دخیل و مقایسه آنها با یکدیگر اثر دما، فشار و نسبت CH<sub>4</sub>/CO<sub>2</sub> بر تعادل شیمیایی مورد مطالعه قرار می گیرد. مقایسه انرژی های آزاد گیبس نشان می دهد که واکنش ۱ و ۲ و ۵ از واکنش های OCM (۳ و ۴) به سمت تولید محصولات سمت راست مطلوب تر بوده و تولید گاز سنتز با نسبت مولی CO/H<sub>2</sub> برابر ۱ در نسبت CH<sub>4</sub>/CO<sub>2</sub> برابر ۱ در دمای واکنش بیش از ۱۰۰۰ °C از طریق واکنش ۱ صورت می گیرد. تبدیل CH<sub>4</sub> و CO<sub>2</sub> و گزینش پذیری گاز سنتز با افزایش فشار سیستم کاهش می یابد.

واژه های کلیدی: واکنش OCM همراه CO<sub>2</sub>، انرژی آزاد گیبس، CH<sub>4</sub>، گاز سنتز.

### - مقدمه

کاهش CO<sub>2</sub> یکی از مهمترین گازهای گلخانه ای یکی از عوامل مهم در حل مشکلات گرم شدن کره زمین است. همچنین تبدیل مستقیم متان به هیدروکربن های C<sub>2</sub> و گاز سنتز روش مناسبی برای استفاده از گاز طبیعی در صنایع پتروشیمی و تولید سوخت مایع است.

در دهه های گذشته CO<sub>2</sub> بیشتر بعنوان یک منبع اکسیژن یا اکسید کننده در نظر گرفته شده است [۱]. گاز طبیعی سوختی حاوی متان، اتان، دی اکسید کربن، سولفید هیدروژن و مقادیر کمی ترکیبات دیگر است، بنا بر این ترکیب همزمان CO<sub>2</sub> و CH<sub>4</sub> برای تولید هیدروکربن های C<sub>2</sub><sup>+</sup> و گاز سنتز به دلیل عدم نیاز به جدا سازی اولیه CO<sub>2</sub> از گاز طبیعی کم هزینه تر و از لحاظ زیست محیطی پاکتر است. ترکیب CH<sub>4</sub> و CO<sub>2</sub> که جفت شدن اکسیداتیو متان نامیده می شود، کاز سنتزی با نسبت مولی H<sub>2</sub>/CO کمتر و هیدروکربن های سبک تر تولید می کند، گاز سنتز در مراحل بعدی می تواند بعنوان

خوارک واکنش های فیشر- تروپش به کار گرفته شده و مواد شیمیایی با ارزش تر مانند متانول تولید کند و یا عنوان منبع اصلی هیدروژن در فرایندهای پالایشگاهی به کار رود. استفاده از  $\text{CO}_2$  بعنوان اکسید کننده از ایجاد محصولات جانبی جلوگیری کرده و گزینش پذیری به سمت تولید محصول مطلوب یعنی هیدروکربن های سنگین تر از  $\text{C}_2$  را افزایش می دهد.

مطالعات دانشمندان قبلی برروی ترمودینامیک واکنش نشان داده است که با افزایش دمای واکنش یا نسبت مولی خوارک  $\text{CO}_2/\text{H}_2$  تبدیل تعادلی واکنش افزایش می یابد. مطالعات ترمودینامیکی اطلاعات جامعی از محدودیت های انجام واکنش ارائه داده و شرایط مناسب عملکرد واکنش کاتالیستی OCM را بدست می دهد. قبل از تجزیه و تحلیل تعادل شرایط شرایط عملکرد مناسب واکنش هایی مانند تولید هیدروژن از طریق تبدیل با بخار متانول [۲] و یا پیروولیز متان [۳] با استفاده از روش حداقل سازی مستقیم انرژی آزاد گیبس تحقیقاتی انجام داده اند ولی برای استخراج شرایط عملکرد بهینه واکنش OCM از این طریق فعالیت های چندانی صورت نگرفته است. هدف اصلی این مقاله تجزیه و تحلیل تعادل شیمیایی ترمودینامیکی واکنش هایی است که میان  $\text{CH}_4$  و  $\text{CO}_2$  برای تولید گاز سنتز و هیدروکربن های  $\text{C}_2$  رخ می دهد. در این تحلیل اثر دما، فشار و نسبت مولی خوارک  $\text{CO}_2/\text{CH}_4$  بر روی تعادل شیمیایی واکنش مورد بررسی قرار می گیرد. همچنین با استفاده از نتایج حاصل از تجزیه و تحلیل تعادلی ترمودینامیکی امکان پذیری و میزان انجام واکنش های دخیل در فرایند OCM توضیح داده می شود.

## ۲- روش محاسبه تعادل شیمیایی ترمودینامیکی

یکی از روش های کارآمد و مهم برای محاسبه تعادل شیمیایی ترمودینامیکی، حداقل سازی مستقیم انرژی آزاد گیبس است که برای حل مسائل تعادل شیمیایی پیچیده پیشنهاد می شود [۴]. برای محاسبه تعادل شیمیایی ترمودینامیکی و بررسی اثر دما، فشار و نسبت  $\text{CH}_4 / \text{CO}_2$  از نرم افزار Chem Kin استفاده شد. واکنش هایی که میان  $\text{CO}_2$  و  $\text{CH}_4$  در شرایط مناسب واکنش روی می دهند در جدول ۱ خلاصه شده اند.

جدول ۱- واکنش های میان  $\text{CO}_2$  و  $\text{CH}_4$

No.	Reaction	$\Delta H^{\circ} 298 (\text{kJ/mol})$
1	$\text{CH}_4 + \text{CO}_2 \rightleftharpoons 2\text{CO} + 2\text{N}_2$	247
2	$\text{CO}_2 + \text{H}_2 \rightleftharpoons \text{CO} + \text{H}_2\text{O}$	41
3	$2\text{CH}_4 + \text{CO}_2 \rightleftharpoons 2\text{C}_2\text{H}_5 + 2\text{H}_2\text{O}$	106
4	$2\text{CH}_4 + 2\text{CO}_2 \rightleftharpoons \text{C}_2\text{H}_4 + 2\text{CO} + 2\text{H}_2\text{O}$	284
5	$\text{C}_2\text{H}_6 + 2\text{CO}_2 \rightleftharpoons \text{C}_2\text{H}_4 + 2\text{H}_2$	136

با استفاده از این نرم افزار، ترکیب شیمیایی مواد واکنشگر و محصولات در دما و فشار معین محاسبه شد. خواص ترمودینامیکی برای محاسبه سیستم تعادلی در این نرم افزار موجود است. مقادیر محاسبه شده مانند ترکیب شیمیایی از این نرم افزار بصورت تئوری بوده و به علت محدودیت هایی در شرایط عملکرد ممکن است در عمل تغییر کنند. با استفاده از روش حداقل سازی مستقیم انرژی آزاد گیبس ترمودینامیکی براساس آن پایه ریزی شده است، در ابتدا تغییر انرژی آزاد گیبس و بدنبال آن ثابت تعادل با استفاده از معادلات زیر و به کمک نرم افزار MATLAB محاسبه شد. برای محاسبه تغییر انرژی آزاد گیبس از مراحل محاسباتی که در ادامه توضیح داده می شود، استفاده شد.

$$\Delta H_T = \Delta H_{298} + \int_{298}^T (\Delta C_p) dT = \Delta H_{298} + \Delta a(T - 298) + \Delta b/2(T^2 - 298^2) + \Delta c/3(T^3 - 298^3) + \Delta d/4(T^4 - 298^4) \quad (1)$$

که با جایگزینی معادله  $Cp$  و انتگرال گیری  $\Delta H_T^\circ$  به صورت معادله (۲) در می آید:

$$\Delta H_T^\circ = \Delta H_{298}^\circ - \Delta a(T - 298) - (\Delta b/2)(T^2 - 298^2) - (\Delta c/3)(T^3 - 298^3) - (\Delta d/4)(T^4 - 298^4) - IRT \quad (2)$$

$\Delta H_T^\circ$  حرارت واکنش در  $T = 298K$  ،  $\Delta a$  ،  $\Delta b$  ،  $\Delta c$  و  $\Delta d$  ضرایب ثابت معادله ظرفیت گرمایی و  $T$  دمای واکنش است. حرارت واکنش استاندارد در دمای واکنش است. حرارت واکنش استاندارد  $\Delta H_{298}^\circ$  با استفاده از حرارت استاندارد تشکیل  $\Delta H_f^\circ$  برای موارد دخیل در واکنش بدست می آید [۵]. همچنین  $\Delta H_{298}^\circ$  از فرمول ۳ قابل محاسبه است.

$$\Delta H_{298}^\circ = \text{مجموع حرارت های استاندارد واکنش واکنش گرها} - \text{مجموع حرارت های استاندارد محصولات} \quad (3)$$

برای محاسبه تغییر انرژی آزاد گیبس از فرمول ۴ استفاده شد [۶].

$$\Delta G^\circ = \Delta H^\circ - \Delta aT \ln T - (\Delta b/2)T^2 - (\Delta c/6)T^3 - (\Delta d/12)T^4 - IRT \quad (4)$$

$\Delta H^\circ$  ثابت انتگرال معادله ۱ و یا ساده شده آن یعنی ۲ به صورت معادله ۵ می باشد:

$$\Delta H^\circ = -298\Delta a - 298^2\Delta b/2 - 298^3\Delta c/3 - 298^4\Delta d/4 \quad (5)$$

$R$  ثابت جهانی گازها و  $I$  ثابتی است که با قراردادن  $T = 298 K$  به جای  $\Delta G^\circ$  و  $\Delta G_{298}^\circ$  و جایگزینی مقادیر  $\Delta a$  ،  $\Delta b$  ،  $\Delta c$  و  $\Delta d$  محاسبه می شود. در ضمن  $\Delta G_{298}^\circ$  از اختلاف  $\Delta G_{f298}^\circ$  (انرژی آزاد گیبس تشکیل استاندارد) محصول و مواد واکنشگر مطابق معادله ۶ بدست می آید.

$$\Delta G_{298}^\circ = \Delta G_{f298}^\circ \text{ product} - \Delta G_{f298}^\circ \text{ reactant} \quad (6)$$

پس از محاسبه ثابت  $I$  می توان با استفاده از فرمول ۳ در هر دمایی  $\Delta G^\circ$  واکنش های ۱ تا ۵ مندرج در جدول ۱ را محاسبه کرد. در ضمن برای محاسبه ثابت تعادل از رابطه ۷ استفاده شد.

$$LnK = -\frac{\Delta G_{f298}^\circ}{RT} \quad (7)$$

تبديل، گزینش پذيرى و بازده تعادلى براساس تركيب اوليه و تعادلى هم بصورت دستى و هم نرم افزارى (ChemKin) محاسبه شدند. تبديل  $\text{CO}_2$  و  $\text{CH}_4$  در واکنش با معادله ۸ محاسبه شد.

$$X_i = \frac{n_{i,in} - n_{i,out}}{n_{i,in}} \times 100\% \quad (8)$$

i مربوط به  $\text{CO}_2$  و  $\text{CH}_4$  و  $n_i$  تعداد مول های  $\text{CO}_2$  و یا  $\text{CH}_4$  است. گزینش پذيرى محصولات  $\text{C}_2\text{H}_6$  و  $\text{CO}$  و  $\text{C}_2\text{H}_4$  با معادله ۹ محاسبه شد [۷].

$$S_i = \frac{n_{i,out} \cdot n_{C,i}}{(n_{CH_4,in} - n_{CH_4,out}) + (n_{CO_2,in} - n_{CO_2,out})} \quad (9)$$

که i در اين معادله  $\text{C}_2\text{H}_6$  و  $\text{CO}$  و  $\text{C}_2\text{H}_4$  و  $n_C$  تعداد اتم های کربن درگونه مربوط است. همچنین گزینش پذيرى هیدروژن از رابطه ۱۰ محاسبه می شود.

$$S_{H_2} = \frac{nH_{2,out}}{2(n_{CH_4,in} - n_{CH_4,out})} \times 100\% \quad (10)$$

بازده تولید  $\text{H}_2$  از طریق معادلات ۱۱ و ۱۲ محاسبه می شوند.

$$Y_i = \frac{n_{i,out} \cdot n_{C,i}}{n_{CH_4,in} - n_{CO_2,in}} \times 100\% \quad (11)$$

$$Y_{H_2} = \frac{n_{H_2,out}}{2n_{CH_4,out}} \times 100\% \quad (12)$$

### ۳- تحلیل و بررسی

۱-۳ تحلیل نتایج حاصل از تغییر انرژی آزاد گیبس استاندارد واکنش  $\text{CO}_2$  و  $\text{CH}_4$  همانطور که جدول ۲ نشان می دهد واکنش ۱ که منجر به تولید گاز سنتز می شود، درین واکنش های دیگر به دلیل کم بودن  $G^\circ$  واکنش یا بیشتر بودن K به ویژه در دمای بیش از ۹۷۳ K مطلوب تر است.

جدول ۲- تغییر انرژی آزاد گیبس واکنش های مختلف دخیل در  $\text{OCM}$  با  $\text{CO}_2$  در دماهای مختلف

reaction	$\Delta G^\circ_T \text{ (kJ/mol)}$									
	298 K	373 K	473 K	573 K	673 K	773 K	873 K	973 K	1073 K	1173 K
1	170	150.8	124	96.58	68.8	41.02	13	-15.1	-43.08	-71
2	79	70	58.50	47	36.4	26.4	16.98	8	-0.51	-8.76
3	96.6	95.50	92.30	89.12	86	81.99	79.4	76.5	72.89	70.1
4	226.82	212	192.6	172.32	152	132	111.90	91.4	70.98	51.98
5	100.30	91.02	77	62.5	47.5	31.54	15.76	-0.81	-17.98	-34.34

**جدول -۳ - ثابت تعادل واکنش در دماهای مختلف**

reaction	(Equilibrium constant) $K = \exp(-\Delta G^\circ / RT)$ (kJ/mol)									
	298 K	473 K	573 K	673 K	773 K	873 K	973 K	1073 K	1173 K	
1	1.3E-30	2.02E-14	1.59E-9	4.5E-6	1.7E-3	1.7E-1	6.57	1.25E2	1.4E3	
2	1.38E-14	3.6E-7	5E-5	1.48E-3	1.68E-2	9.86E-2	0.38	1.04	2.4	
3	7.2E-18	6.43E-11	7.2E-9	2E-7	2.5E-6	1.78E-5	8.2E-5	2.76E-4	7.7E-4	
4	1.97E-40	5.87E-22	1.97E-16	1.57E-12	1.27E-9	1.97E-7	1.13E-5	3.24E-4	4.97E-3	
5	2.65E-18	3E-9	2.01E-6	2.05E-4	7.1E-3	0.13	1.13	7.14	3.5E1	

از آنجایی که  $\Delta G$  واکنش ۲ نیز به ویژه در دمای بیش از ۹۷۳ K منفی است و با استناد به مراجع دیگر [۸] عموماً این واکنش همزمان با واکنش ۱ انجام می‌شود.

از آنجایی که مقادیر  $\Delta G$  واکنش ۳ و ۴ (واکنش OCM و  $CO_2$ ) بسیار مثبت است، بنابر این در شرایط تعادل ترمودینامیکی پیشرفت واکنش چندان امکان پذیر نیست.

همچنین واکنش ۵ یعنی دهیدروژناسیون اتان در دماهای بالا (بیش از ۹۷۳K) همراه با دو واکنش ۱ و ۲ عمولاً بصورت همزمان انجام شده و به دلیل مقدار کم و منفی  $\Delta G$  و یا مقدار زیادتر  $K$  بصورت مطلوبی صورت می‌گیرد و البته در شرایط تعادلی بعلت مصرف اتان در واکنش دهیدروژناسیون مقدار تعادلی آن در واکنش کلی کاهش می‌یابد.

### ۳-۲ اثر دما روی جزء مولی، تبدیل، گزینش پذیری و بازده تعادلی

اثر دما بر روی ترکیب تعادلی واکنشگرها و محصولات از رابطه ۱۳ و ۱۴ محاسبه می‌شود.

$$\frac{d(\Delta G^\circ / RT)}{dt} = \frac{-\Delta H^\circ}{RT^2} \quad (13)$$

و یا

$$\frac{d \ln K}{dT} = \frac{\Delta H^\circ}{RT^2} \quad (14)$$

که در آن  $K = \prod a_i^{\gamma_i}$  و  $a_i^{\gamma_i}$  فعالیت یکی از اجزاء مخلوط واکنش و  $\gamma_i$  اعداد استوکیومتری مربوط به محصولات و واکنشگرهاست. همچنین رابطه K با فوگاسیته که در نهایت برای محاسبه جزء مولی تعادلی و اثر فشار سیستم به کار می‌رود به صورت رابطه ۱۵ بیان می‌شود.

$$K = \frac{(\hat{f} / f)_{products}}{(\hat{f} / f)_{reactants}} = \frac{\Pi(y \hat{\phi} P)_{products}}{\Pi(y \hat{\phi} P)_{reactants}} \quad (15)$$

که  $f$  فوگاسیته،  $y$  جزء مولی،  $\hat{\phi}$  ضریب فوگاسیته و  $P$  فشار سیستم است. علامت  $\wedge$  (Caret) مقدار  $f$  یا  $\hat{\phi}$  را در مخلوط نشان می‌دهد. با حذف  $P$  و فرض  $\hat{\phi}^i = \phi^i$  فرمول ۱۶ حاصل می‌گردد.

$$K = \frac{\Pi(y\phi)products}{\Pi(y\phi)reactants} \quad (16)$$

با داشتن K از جدول ۲ در دماهای مختلف و محاسبه  $\phi$  از روابط Pitzer [۶] که به صورت معادله ۱۷ در ذیل آورده شده است داریم:

$$\ln \phi_i = (Z-1) \frac{B_i}{B} - \ln(Z-BP) - \frac{A^2}{B} \left( \frac{2A_i}{A} - \frac{B_i}{B} \right) \ln \left( 1 + \frac{BP}{P} \right) \quad (17)$$

که در آن  $\phi$  ضریب فوگاسیته جزء i،  $B_i = 0.0867/Tr_i.Pc_i$  و  $A^2_i = 0.4278/T_r^{2.5}i.Pc_i$

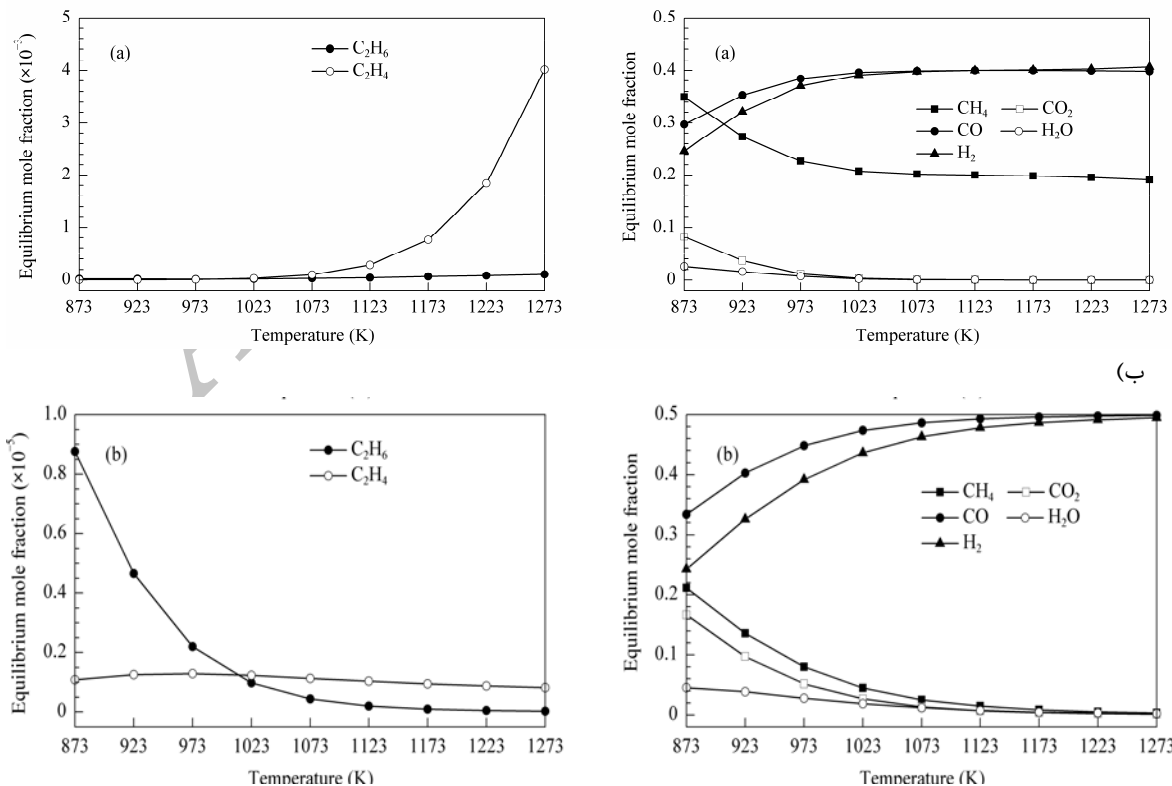
و  $B = \sum Y_i A_i$  به طوری که  $Tr_i$  دمای کاهشی جزء i،  $Tc_i$  دمای بحرانی جزء i،  $Pci$  فشار بحرانی جزء i و  $Yi$  جزء مولی جزء i در مخلوط گازی است. همچنین Z از حل معادله درجه سوم ۱۸ محاسبه می‌شود.

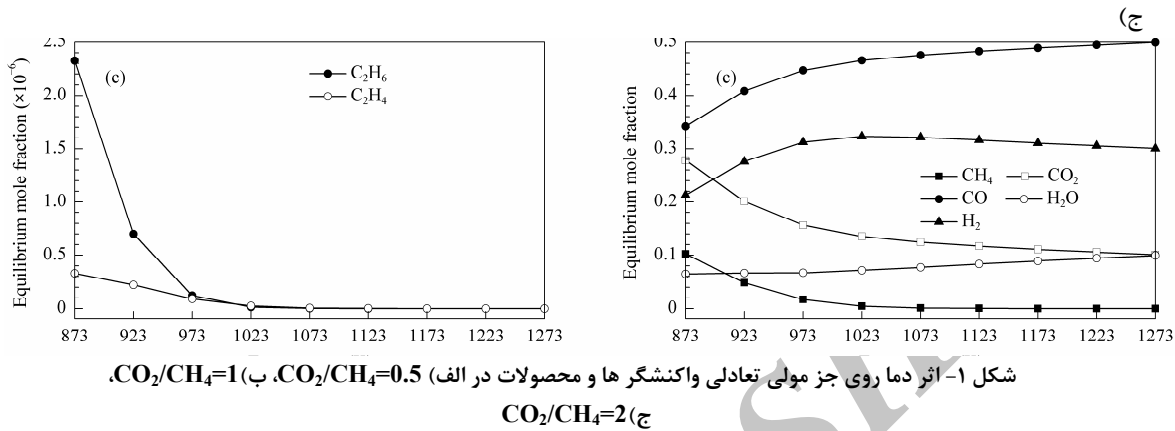
$$Z^3 + Z^2 + [A^2 P - BP(1+BP)]Z = (A^2 P)(BP) = 0 \quad (18)$$

همچنین با در نظر گرفتن ارتباط جزء مولی Y با تبدیل تعادل X که از معادله ۸ حاصل می‌شود، با نوشتن و حل همزمان ۵ معادله ثابت تعادل برای ۵ واکنش مندرج در جدول ۱ مقادیر ترکیب تعادلی واکنشگرها و محصولات مشخص می‌شوند. اثر دما روی ترکیب تعادلی برای واکنش CO<sub>2</sub> و CH<sub>4</sub> برابر با ۰/۵ و ۰/۰۲ در شکل ۱ نشان داده شده است (در

شکل ۱-الف افزایش قابل توجهی در جزء مولی C<sub>2</sub>H<sub>4</sub> به ویژه در دماهای بالاتر واکنش دیده می‌شود که به دلیل کمتر بودن  $\Delta G_T^\circ$  واکنش ۴ نسبت به واکنش ۳ رخ می‌دهد).

(الف)

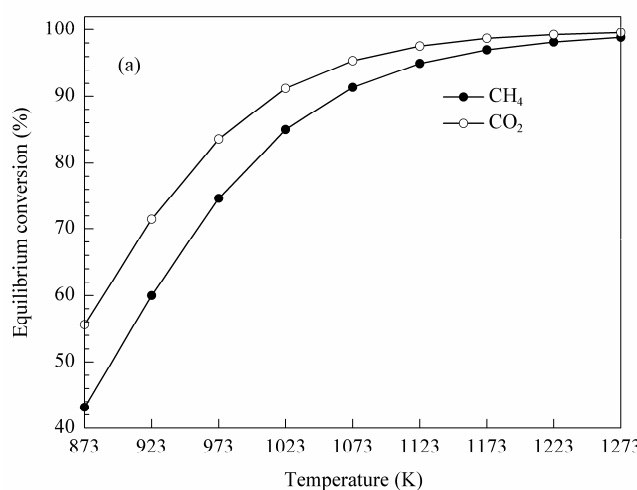


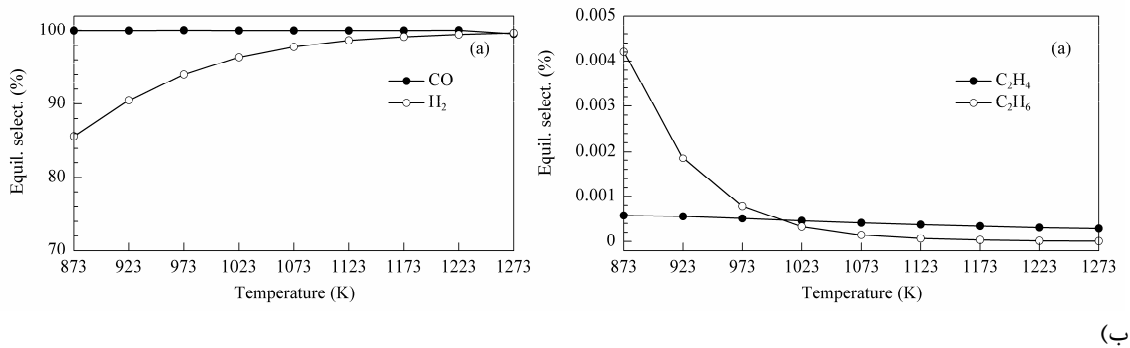
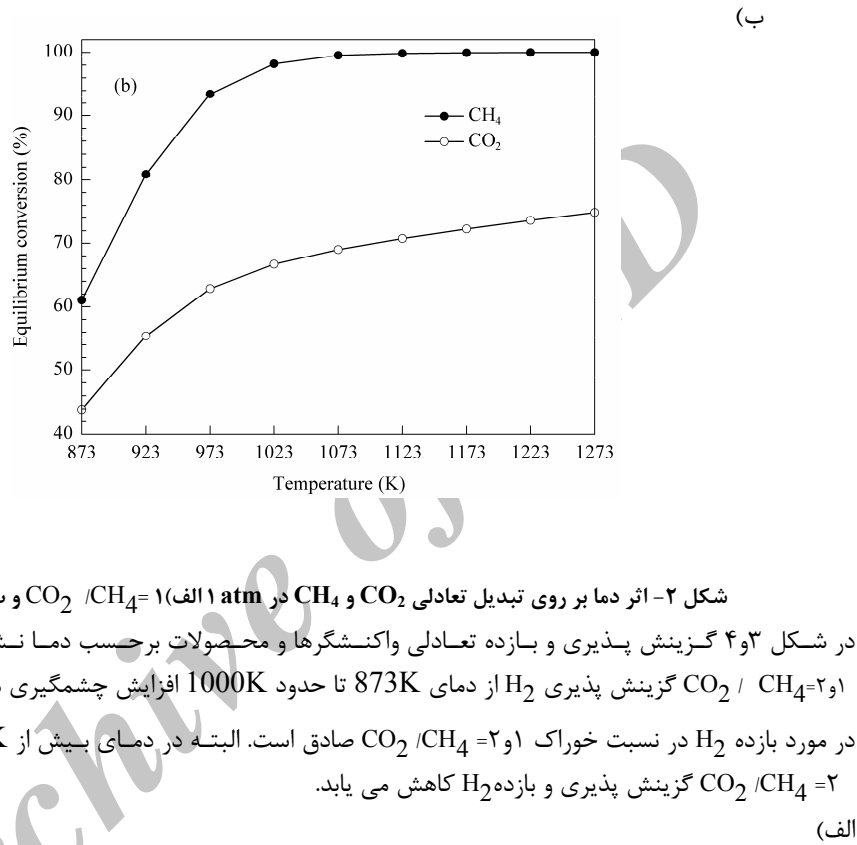

 شکل ۱- اثر دما روی جز مولی تعادلی واکنشگر ها و محصولات در (الف) . $\text{CO}_2/\text{CH}_4=1$ ، (ب) . $\text{CO}_2/\text{CH}_4=0.5$ ، (ج) . $\text{CO}_2/\text{CH}_4=2$ 

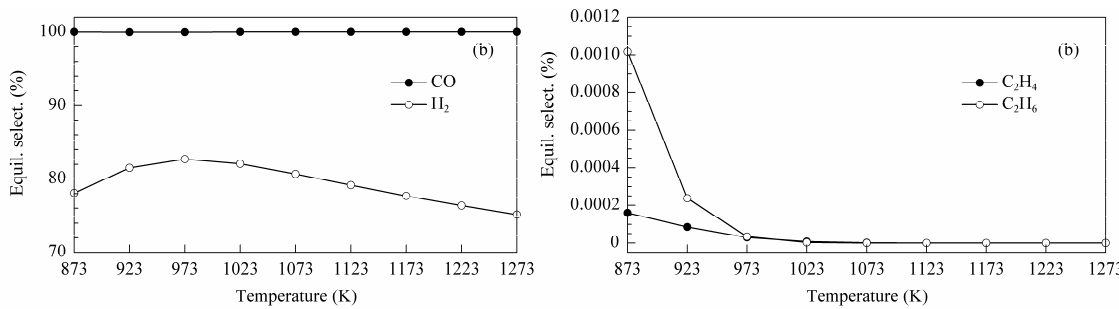
در ضمن مقدار تعادلی  $\text{H}_2$  و  $\text{CO}$  نیز با افزایش دما بیشتر می شود. برای نسبت  $\text{CO}_2/\text{CH}_4$  بیشتر جزء مولی  $\text{C}_2\text{H}_6$  و  $\text{C}_2\text{H}_4$  با افزایش دما کاهش می یابد. جزء مولی  $\text{H}_2$  تولید شده در همه حالت  $\text{CO}_2/\text{CH}_4$  از جزء مولی  $\text{CO}$  تولیدی کمتر بوده و این مورد در نسبت  $\text{CO}_2/\text{CH}_4$  بیشتر محسوس تر است.  $\text{H}_2$  با  $\text{CO}_2$  طبق واکنش ۲ ترکیب شده و  $\text{CO}$  و مقدار کمتری  $\text{H}_2\text{O}$  تولید می کند. بنابراین در نسبت های بالاتر  $\text{CO}_2/\text{CH}_4$  میزان بیشتری از  $\text{CO}_2$  با میزان بیشتری از  $\text{H}_2$  وارد واکنش می شود و  $\text{CO}$  بیشتری هم تولید می شود و به همین جهت در نسبت های بالاتر  $\text{CO}_2/\text{CH}_4$  همواره مقدار  $\text{H}_2$  از  $\text{CO}$  تولیدی کمتر و این اختلاف محسوس تر است.

شکل ۲ - (الف) و (ب) اثر دما را بر روی تبدیل تعادلی  $\text{CO}_2/\text{CH}_4=1$  و  $\text{CO}_2/\text{CH}_4=2$  در نسبت  $\text{H}_2/\text{CO}_2=1$  نشان می دهد. در شکل ۲-الف یعنی برای  $\text{CO}_2/\text{CH}_4=1$  تبدیل تعادلی  $\text{CO}_2$  از  $\text{CH}_4$  بیشتر است. اما در شکل ۲-ب تبدیل تعادلی  $\text{CH}_4$  از تبدیل  $\text{CO}_2$  بیشتر می باشد و علت آن این است که در نسبت خوراک  $\text{CH}_4/\text{CO}_2=2$  واکنشگر محدود کننده به شمار می آید.

(الف)



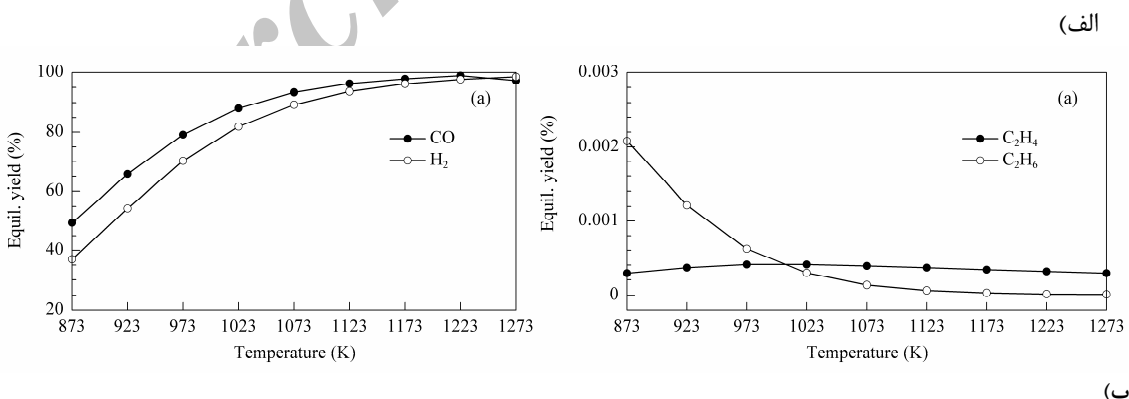


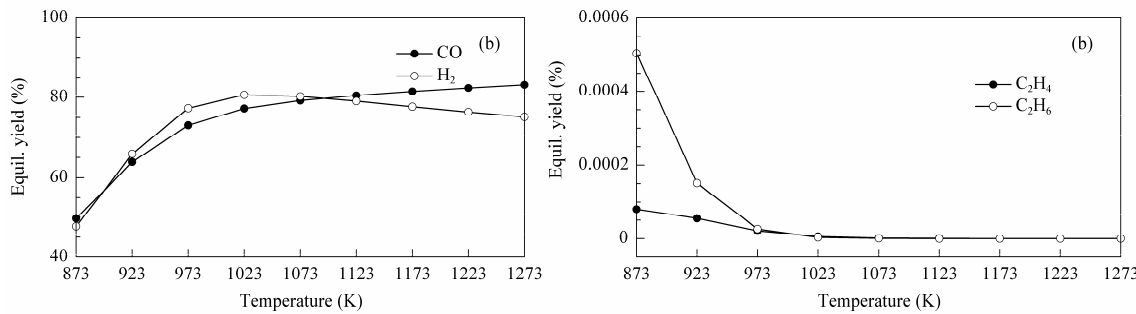


شکل ۳- اثر دما بر روی گزینش پذیری تعادلی محصولات در ۱ Atm (الف) و (ب)  $\text{CO}_2/\text{CH}_4=1$  و  $\text{CO}_2/\text{CH}_4=2$

از آنجایی که مقدار  $\text{CO}_2$  در این نسبت ۲ برابر مقدار  $\text{CH}_4$  است،  $\text{H}_2$  با  $\text{CO}_2$  واکنش داده و مطابق واکنش ۲ آب و  $\text{CO}$  تولید می کند. و از آنجایی که  $\Delta G_T^\circ$  این واکنش در دمای بیش از K ۱۰۰۰ منفی و کم است پس در دماهای بالاتر به خوبی پیشرفت می کند و مسلماً گزینش پذیری و بازده CO از  $\text{H}_2$  بیشتر است. زیرا  $\text{H}_2$  در ترکیب با  $\text{CO}_2$  در واکنش ۲ مصرف می شود.

بازده تعادلی  $\text{C}_2\text{H}_6$  و  $\text{C}_2\text{H}_4$  در شکل ۴ نشان داده شده اند. تشکیل  $\text{C}_2\text{H}_6$  در دماهای کمتر از ۱۰۰۰ K نسبت به  $\text{C}_2\text{H}_4$  مطلوب تر است. همانطور که در جدول ۲ نشان می دهد در دماهای کمتر از K ۱۰۰۰  $\Delta G_T^\circ$  واکنش ۳ کمتر از  $\Delta G_T^\circ$  واکنش ۴ است و بهمین دلیل  $\text{C}_2\text{H}_6$  گزینش پذیری و بازده تعادلی  $\text{C}_2\text{H}_4$  در دماهای بیش از K ۱۰۰۰ نسبت به بازده و گزینش  $\text{C}_2\text{H}_6$  پذیری تعادلی  $\text{C}_2\text{H}_6$  ( $\text{CO}_2/\text{CH}_4=1$ ).  $\Delta G_T^\circ$  کمتر جهت تشکیل  $\text{C}_2\text{H}_4$  در مقایسه با  $\Delta G_T^\circ$  تشکیل  $\text{C}_2\text{H}_6$  در دماهای بیش از K ۱۰۰۰ این نکته را تایید می کند. بعلاوه  $\text{C}_2\text{H}_6$  در دماهای بالا با  $\text{CO}_2$  واکنش داده و  $\text{C}_2\text{H}_4$  را تولید می کند. اگرچه در نسبت خواراک  $\text{CO}_2/\text{CH}_4=2$  در دمای بیش از K ۹۷۳ گزینش پذیری و بازده تعادلی  $\text{C}_2\text{H}_6$  و  $\text{C}_2\text{H}_4$  بسیار بهم نزدیک می شود که دلیل آن همانطور که گفته شد این است که  $\text{CH}_4$  واکنشگر محدود کننده به حساب می آید.




 شکل ۴- اثر دما بر روی بازده تعادلی محصولات در ۱ Atm (الف)  $\text{CO}_2/\text{CH}_4 = 1$  و (ب)  $\text{CO}_2/\text{CH}_4 = 2$ 

### ۳-۳-۳ اثر $\text{CO}_2/\text{CH}_4$ جزء مولی تبدیل، گزینش پذیری و بازده تعادلی

همانطور که جدول ۴ نشان می‌دهد ترکیب شیمیایی تعادلی برای نسبت‌های مختلف  $\text{CO}_2/\text{CH}_4$  در فشار ۱ atm و دمای ۱۱۲۳ K افزایش می‌یابد، جزء مولی تعادل  $\text{C}_2\text{H}_4$  و  $\text{C}_2\text{H}_6$  به دلیل کمتر بودن مقدار  $\text{CH}_4$  در سیستم واکنش کاهش می‌یابد. زیرا با کمتر شدن  $\text{CH}_4$  مقدار  $\text{H}_2$  موجود در سیستم واکنش کاهش یافته و موادی با  $\text{H}_2$  زیاد قابلیت تولید کمتری دارند.

 جدول ۴- اثر  $\text{CO}_2/\text{CH}_4$  بر عملکرد تعادلی در ۱۱۲۳ K و ۱ atm

$\text{CO}_2/\text{CH}_4$ feed ratio	Mole fraction						X / %				S / %				Y / %			
	CH <sub>4</sub>	CO <sub>2</sub>	H <sub>2</sub>	CO	C <sub>2</sub> H <sub>6</sub>	C <sub>2</sub> H <sub>4</sub>	H <sub>2</sub> O	CH <sub>4</sub>	CO <sub>2</sub>	H <sub>2</sub>	CO	C <sub>2</sub> H <sub>6</sub>	C <sub>2</sub> H <sub>4</sub>	H <sub>2</sub>	CO	C <sub>2</sub> H <sub>6</sub>	C <sub>2</sub> H <sub>4</sub>	
Pure CH <sub>4</sub>	0.82	-	0.12	-	2.72E-3	5.69E-2	-	13.05	-	48.74	-	4.42	92.44	6.36	-	0.57	12.07	
0.25	0.42	2.94E-5	0.29	0.29	2.87E-4	2.42E-3	3.3E-5	26.33	99.98	96.58	99.10	0.20	1.65	25.43	40.69	0.08	0.68	
0.33	0.33	6.86E-5	0.34	0.33	1.52E-4	1.11E-3	7.5E-5	33.89	99.97	99.08	99.14	0.09	0.77	33.58	49.98	0.05	0.39	
0.51	0.19	2.47E-4	0.40	0.40	4.37E-5	2.65E-4	2.7E-4	51.02	99.91	99.77	99.83	0.02	0.15	50.90	67.41	0.02	0.10	
0.74	8.45E-2	9.38E-4	0.46	0.46	7.33E-6	3.93E-5	1.0E-3	73.44	99.68	99.80	99.98	3.1E-3	0.02	73.30	84.57	2.6E-3	0.02	
1.00	1.44E-2	7.02E-3	0.48	0.49	2.03E-7	1.04E-6	7.4E-3	94.98	97.56	98.64	99.99	1.0E-4	4.0E-4	93.68	96.27	1.0E-4	4.0E-4	
1.96	3.89E-4	0.11	0.32	0.48	2.2E-10	1.68E-9	8.2E-2	99.85	71.46	79.76	99.99	0.00	0.00	79.65	81.04	0.00	0.00	
3.00	7.98E-5	0.22	0.22	0.45	1.4E-11	1.5E-11	0.12	99.97	56.37	65.41	100.00	0.00	0.00	65.39	67.27	0.00	0.00	
4.00	2.59E-5	0.30	0.16	0.41	1.9E-12	3.0E-11	0.13	99.99	47.16	55.67	100.00	0.00	0.00	55.67	57.72	0.00	0.00	

جزء مولی  $\text{C}_2\text{H}_6$  در تمام نسبت‌های  $\text{CO}_2/\text{CH}_4$  از ۰.۲۵ تبدیل است، ولت آن را می‌توان به واکنش  $\text{CO}_2/\text{CH}_4 = 2$  در دمای بالا استناد داد که  $\text{C}_2\text{H}_4$  تولید می‌کند و بنابراین میزان  $\text{C}_2\text{H}_6$  از  $\text{C}_2\text{H}_4$  بیشتر خواهد بود. البته میزان تعادلی  $\text{CO}$  و  $\text{H}_2$  با افزایش نسبت  $\text{CO}_2/\text{CH}_4$  افزایش می‌یابد. هردو ماده در نسبت  $\text{CO}_2/\text{CH}_4 = 1$  به حداقل می‌رسند. ولت آن است که  $\text{CO}_2$  در این حالت واکنشگر محدود کننده بوده و در واکنش بازگشت قدرت اکسید کنندگی آن برای ترکیب با متان و تولید  $\text{H}_2$  افزایش می‌یابد. اما در حالات  $\text{CO}_2/\text{CH}_4$  بیش از ۱، میزان  $\text{CO}$  و  $\text{H}_2$  تعادلی کاهش می‌یابند. اثر نسبت  $\text{CO}_2/\text{CH}_4$  بر روی تبدیل تعادلی نیز در جدول ۴ نشان داده شده است.

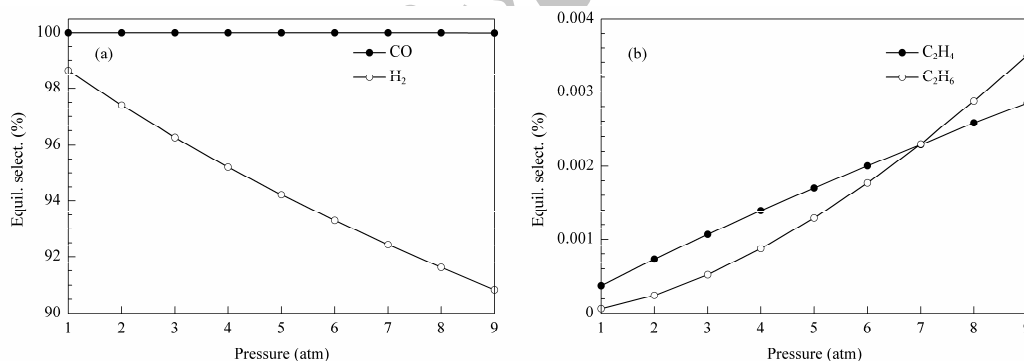
افزایش نسبت  $\text{CO}_2/\text{CH}_4$  تبدیل  $\text{CH}_4$  را افزایش و تبدیل  $\text{CO}_2$  را کاهش می‌دهد. تبدیل  $\text{CH}_4$  در نسبت خوراک  $\text{CO}_2/\text{CH}_4$  بیش از ۱ از تبدیل  $\text{CO}_2$  بیشتر است. این  $\text{CO}_2$  در خوراک با  $\text{H}_2$  تولید شده در محصول وارد واکنش می‌شود. تبدیل کمتر  $\text{CH}_4$  نسبت به تبدیل  $\text{CO}_2$  در  $\text{CH}_4/\text{CO}_2$  کمتر از ۱ نشان می‌دهد که  $\text{CO}_2$  بعنوان واکنشگر محدود کننده عمل می‌کند و بنابراین  $\text{H}_2$  کمتری در سیستم واکنش تولید می‌شود. گزینش پذیری تعادلی برای واکنش  $\text{CH}_4-\text{CO}_2$  نیز در

جدول ۴ نشان داده شده است. گزینش پذیری  $\text{C}_2\text{H}_6$  و  $\text{CO}_2$  در جزء مولی کمتر  $\text{CO}_2$  در خوراک حاصل شده در نسبت  $\text{CO}_2/\text{CH}_4$  بالاتر کاهش می یابند. روند مشابهی برای گزینش پذیری تعادلی  $\text{CO}$  و  $\text{H}_2$  که در نسبت خوراک  $\text{CO}_2/\text{CH}_4$  کمتر از ۱ حدود ۱۰۰٪ هستند مشاهده می شود. گزینش پذیری  $\text{H}_2$  در نسبت  $\text{CO}_2/\text{CH}_4$  بیش از ۱ روند کاهشی دارد که علت آن به احتمال زیاد تبدیل بیشتر  $\text{H}_2$  به آب و  $\text{CO}$  از طریق واکنش ۲ است. از جدول ۴ بازده  $\text{C}_2\text{H}_4$  و  $\text{C}_2\text{H}_6$  با افزایش نسبت خوراک  $\text{CO}_2/\text{CH}_4$  کاهش می یابد. بازده  $\text{CO}$  و  $\text{H}_2$  با افزایش  $\text{CO}_2/\text{CH}_4$  در خوراک افزایش می یابد، در حالیکه بازده  $\text{H}_2$  در نسبت  $\text{CO}_2/\text{CH}_4$  برابر با ۱ به بازده  $\text{CO}$  نزدیک می شود. کاهش بازده  $\text{H}_2$  در نسبت  $\text{CO}_2/\text{CH}_4$  بیش از ۱ ممکن است به دلیل واکنش مطلوب ترکیب  $\text{CO}_2$  با  $\text{H}_2$  (واکنش ۲) باشد.

۴-۳ اگر فشار سیستم روی تبدیل، گزینش پذیری و بازده واکنش اثر فشار سیستم روی عملکرد واکنش ها با فرمول ۱۹ توضیح داده می شود[۶].

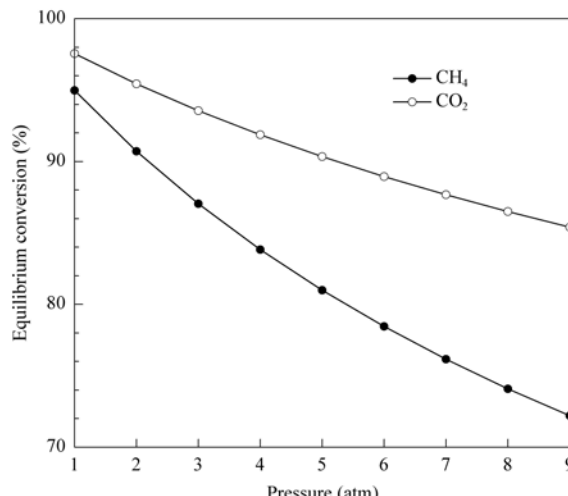
$$\prod_{i=1}^I (y_i)^{\gamma_i} = \left(\frac{P}{P_0}\right)^{-\gamma} \cdot K \quad (19)$$

اگر  $\gamma$  منفی باشد معادله ۱۹ نشان می دهد که افزایش فشار ( $P$ ) در  $T$  ثابت باعث افزایش عبارت سمت چپ شده و واکنش به سمت تولید محصولات پیش می رود و اگر  $\gamma$  مثبت باشد، افزایش  $P$  در  $T$  ثابت باعث جابجایی واکنش به سمت چپ و تولید واکنشگرها می گردد. اگر  $\gamma = 0$  یعنی افزایش یا کاهش فشار اثری بر جهت تعادل سیستم واکنش ندارد. واکنش ۲ و ۱ مثبت هستند. از شکل ۵ ملاحظه می شود که گزینش پذیری  $\text{CO}$  و به ویژه  $\text{H}_2$  با افزایش فشار کاهش می یابد و برای  $\text{C}_2\text{H}_4$  و  $\text{C}_2\text{H}_6$  روند افزایشی دارد.



شکل ۵- اثر فشار سیستم بر گزینش پذیری تعادلی محصولات در  $\text{CO}_2/\text{CH}_4$  و  $1123^\circ\text{C}$  و  $1\text{ atm}$

اثر فشار سیستم روی تبدیل تعادلی  $\text{CH}_4$  و  $\text{CO}_2$  در  $K = 1123\text{ K}$  برای  $\text{CO}_2/\text{CH}_4$  برابر ۱ در شکل ۶ نشان داده شده است. تبدیل تعادلی  $\text{CH}_4$  و  $\text{CO}_2$  با افزایش فشار سیستم کاهش می یابد.



شکل ۶- اثر فشار بر تبدیل تعادلی  $\text{CO}_2 + \text{CH}_4 \rightleftharpoons \text{C} + \text{CO}_2$  در دمای ۱۱۲۳°C

از آنجایی که عدد استوکیومتری ۷ برای واکنش های ۱ تا ۵ صفر و یا مثبت است به دلیل افزایش فشار، واکنش به سمت تولید واکنشگرها پیش می رود و به عبارتی عبارت  $\prod_{i=1}^I (y_i)^{\gamma_i}$  در معادله ۱۹ کاهش می یابد.

#### ۴- نتیجه:

امکان پذیری واکنش های قابل انجام میان  $\text{CO}_2$  و  $\text{CH}_4$  از روش حداقل سازی مستقیم انرژی آزاد گیبس و ترمودینامیکی قرار گرفت. واکنش های ۱ و ۲ و ۵ نسبت به واکنش های OCM واکنش های ۳ و ۴ بدون کاتالیست مطلوب تر است. نسبت مولی  $\text{CO}_2/\text{CH}_4$  در خوارک، دمای واکنش و فشار سیستم اثر مهمی بر روی تبدیل، گزینش پذیری، بازده و جزء مولی تعادلی ترکیبات واکنشگر و محصولات دارد.

$\text{CO}_2/\text{CH}_4$  برابر با ۱ برای تولید گاز سنتز با نسبت مولی  $\text{CO}/\text{H}_2$  برابر ۱ در دماهای بالاتر از ۱۰۰۰ K مناسب است. تبدیل تعادلی  $\text{CO}_2/\text{CH}_4$  و گزینش پذیری تعادلی گاز سنتز با افزایش فشار سیستم کاهش یافت. از تجزیه و تحلیل تغییر انرژی آزاد گیبس، واضح است که واکنش OCM با  $\text{CO}_2$  در شرایط مورد بررسی واکنش ۳ و ۴ چندان مطلوب نیست.

#### مراجع

- 1- Suhartano T, York A P E, Hanif A et al. Catal Lett, 2001, 71:49
- 2- Centi G, CavaniF, Trifiro F. Selective Oxidation by Heterogeneous Catalysis. New York: Kluwer Academic/ Plenum Publisher, 2001
- 3- Grueret C, Daroux M, Billaud F. Chem eng Sci, 1997, 52: 815
- 4- Smith J M, Van Ness H C, Abbott M M. Introduction to chemical engineering thermodynamics, New York, Mc Graw Hill Book, Co., 2001
- 5- [www.amazon.ca/Perrys-Chemical-Engineers-Handbook-Eighth/dp/0071422943](http://www.amazon.ca/Perrys-Chemical-Engineers-Handbook-Eighth/dp/0071422943)
- 6- Choppy, Hicks. Handbook of Chemical Engineering, 1978
- 7- Douvartzides S L, Coutelieris F A, Demin A K et al. AIChE J, 2003, 49:248
- 8- Wang Y, Takahashi Y, Ohtsuka Y. J Catal, 1999, 186:160

Archive of SID

Archive of SID